

©1994

**ПОДВИЖНОСТЬ МЕЖДОУЗЕЛЬНОГО ФТОРА,
СВЯЗАННОГО В АКТИВАТОРНЫХ ЦЕНТРАХ TR^{3+}
ИОНОВ В СТРУКТУРЕ ФЛЮОРИТА**

*Ю.К.Воронько, А.В.Осико, В.В.Осико, А.А.Соболь,
С.Н.Ушаков, Л.И.Цымбал*

Исследуется эффект перескока междуузельного фтора вокруг редкоземельного иона (Eu^{3+} и Pr^{3+}) в тетрагональном центре в кристаллах флюорита. Исследования проводились методом поляризованной люминесценции при селективном лазерном возбуждении уровней TR^{3+} ионов. Показано, что этот эффект является температурно-зависимым. При комнатной температуре время перескока составляет ~ 10 нс, что приводит к полной деполяризации линий люминесценции TR^{3+} ионов, излучение которых поляризовано при 77 К. Из экспериментов определены величины потенциальных барьеров ΔE и собственных частот колебаний междуузельного фтора ν_a . Величины ΔE составляют $0.32 + 0.03$ эВ для Eu^{3+} и $0.4 + 0.03$ эВ для Pr^{3+} -центров.

Ранее была обнаружена значительная подвижность междуузельного фтора в кристаллах флюорита, активированного редкоземельными ионами (TR^{3+}), при комнатной температуре [1]. Междуузельный фтор (F_i^-), будучи ассоциирован с TR^{3+} ионами, образует ряд активаторных центров различного состава и структуры, модели которых обсуждались в [2,3]. Поскольку вокруг позиции, занятой TR^{3+} ионом, существует шесть междуузлий в первой координационной сфере, возможно образование одинаковых по структуре, но различным образом ориентированных активаторных центров. Если перескок F_i^- по позициям вокруг TR^{3+} иона осуществляется достаточно быстро, то это должно привести к изменению спектроскопических свойств TR^{3+} ионов в кристаллах флюорита.

В настоящей работе эффект перескока междуузельного фтора изучался методом поляризованной люминесценции тетрагональных центров ионов Eu^{3+} и Pr^{3+} в монокристаллах CaF_2 . Тетрагональный центр, согласно [3], должен иметь симметрию C_{4v} , а его единственная ось четвертого порядка должна проходить через ближайшее к TR^{3+} иону междуузлие, занятое F_i^- (рис. 1,а). Возможны три направления оси C_4 тетрагонального центра в зависимости от того, какое из ближайших междуузлий занято ионом F_i^- . Если время перескока t_1 иона F_i^- из одного междуузлия в другое много больше излучательного времени жизни τ уровня, с которого наблюдается люминесценция (случай $t_1 \gg \tau$),

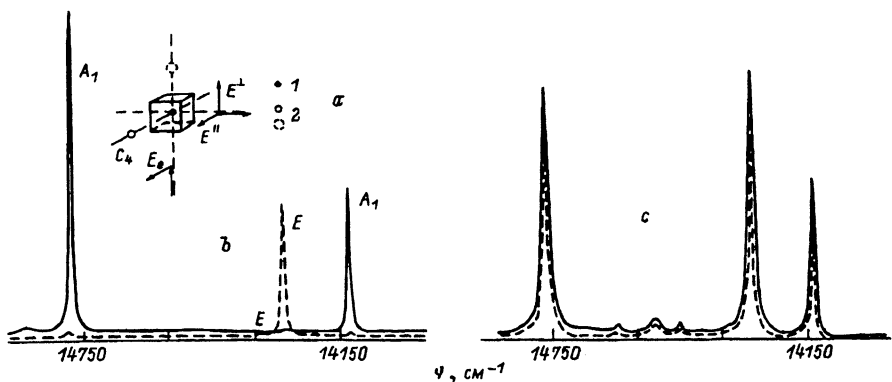


Рис. 1. Ориентация тетрагонального центра в структуре CaF₂ (а). Спектр люминесценции Eu³⁺ в группе $^5D_0 \rightarrow ^7F_4$ при 77 (б) и 300 К (в) в тетрагональном центре. а: E_e — положение вектора возбуждающего света, E^{\parallel} и E^{\perp} — ориентация анализатора. 1 — ион TR^{3+} , 2 — ион F_i^- ; сплошная линия — ориентация анализатора E^{\parallel} , штриховая — E^{\perp} .

то должны существовать три пространственно-неэквивалентных анизотропных тетрагональных центра TR^{3+} ионов, оси C_4 которых параллельны осям четвертого порядка решетки флюорита. Тогда, используя селективное возбуждение поляризованным светом, можно возбудить только одну из трех групп этих центров [4]. Люминесценция таких центров также будет поляризована. Из расчета следует, что для тетрагональной симметрии C_{4v} степень поляризации

$$P = (I^{\parallel} - I^{\perp})/(I^{\parallel} + I^{\perp})$$

(I^{\parallel} и I^{\perp} — интенсивности люминесценции в положениях анализатора E^{\parallel} и E^{\perp} на рис. 1, а) должна быть близка к единице.

Если $t_1 \ll \tau$, то за время возбужденного состояния иона TR^{3+} ось C_4 многократно сменит направление, что должно привести к полной деполяризации излучения.

Исходя из этих предпосылок, нами исследовалась поляризованная люминесценция ионов Eu³⁺ и Pr³⁺ в монокристаллах CaF₂. Концентрация примесей составляла менее 0.01 моль %. Такая низкая концентрация активаторов выбрана для сведения к минимуму возможного влияния безызлучательной передачи энергии по тетрагональным центрам, что могло помешать наблюдать эффекты, связанные с перескоком междуузельного фтора.

Монокристаллы ориентировались по осям C_4 решетки флюорита. Использовали две схемы возбуждения — непрерывным и импульсным перестраиваемыми лазерами на красителе Родамин 6G. Регистрацию спектров проводили на спектрометрах Спекс-Рамалог и СДЛ-1 при температурах 85–285 К. Для возбуждения люминесценции использовали поглощение на переходе $^7F_0 \rightarrow ^5D_0$ иона Eu³⁺ и на переходе $^3H_4 \rightarrow ^5D_1$ иона Pr³⁺. Вектор возбуждающего света E_e был направлен параллельно одной из осей C_4 решетки флюорита, а регистрацию спектров и кинетик затухания люминесценции проводили в двух поло-

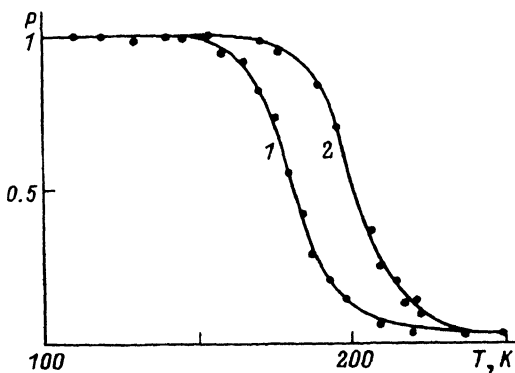


Рис. 2. Температурная зависимость степени поляризации P линий люминесценции с симметрией A_1 в тетрагональном центре с Eu^{3+} (1) и Pr^{3+} (2).

жениях анализатора: паралельно E^{\parallel} и перпендикулярно E^{\perp} вектору возбуждающего света (рис. 1, а).

На рис. 1, в показаны спектры люминесценции тетрагонального центра Eu^{3+} на переходе ${}^5D_0 \rightarrow {}^7F_4$ при возбуждении непрерывным лазером при 83 К в двух геометриях наблюдения. При этой температуре спектры полностью поляризованы: величина $P = 0.95 \div 0.97$. Исходя из модели тетрагонального центра с симметрией C_{4v} , можно однозначно идентифицировать линии, соответствующие переходу на компоненты уровня 7F_4 иона Eu^{3+} . Согласно теории, в этом случае должны наблюдаться по два перехода на компоненты с симметрией A_1 (модель линейного осциллятора) [5], что и наблюдается на рис. 1, в. Такое же соответствие теории и эксперимента наблюдали и на других переходах в спектрах как иона Eu^{3+} , так и иона Pr^{3+} . Эти результаты надежно свидетельствуют, что исследуемые нами центры имеют симметрию C_{4v} , т.е. принадлежат тетрагональному центру, образуемому ассоциатом из TR^{3+} иона и междуузельного фтора. Следует отметить, что впервые метод поляризованной люминесценции был применен для идентификации спектральных линий Eu^{3+} в тригональном центре симметрии C_{3v} в кристаллах CaF_2 с кислородной компенсацией заряда Eu^{3+} [4]. Идентификация спектра Eu^{3+} в тетрагональном центре и подтверждение существования симметрии C_{4v} этого центра в структуре флюорита методом поляризованной люминесценции проведены впервые в настоящей работе.

Наблюдаемая высокая степень поляризация линий свидетельствует также о выполнении условия $t_1 \gg \tau$ при низких температурах, т.е. об отсутствии эффекта перескока F_i^- за время жизни возбужденного состояния.

В отличие от этого спектры люминесценции как Eu^{3+} , так и Pr^{3+} оказываются полностью деполяризованы в при комнатной температуре (рис. 1, с). В интервале температур 83–295 К величина P менялась от единицы до нуля. Это иллюстрируется рис. 2, где приведены зависимости $P = f(T)$, построенные с использованием интенсивностей линий на переходах ${}^5D_0 \rightarrow {}^7F_4$ Eu^{3+} и ${}^5D_1 \rightarrow {}^3H_5$ Pr^{3+} , соответствующих модели линейного осциллятора. Рис. 2 демонстрирует увеличение вероятности преодоления потенциального барьера ионом F_i^- при его перескоке в соседнее междуузлие с ростом температуры. Согласно [6], такая вероятность равна $W = v_a \exp(-\Delta E/kT)$, где ΔE — величина

потенциального барьера, ν_a — собственная частота колебания частиц. Можно связать величину W со степенью поляризации P и тем самым оценить значения ν_a и ΔE . Так как перескок F_i^- вокруг TR^{3+} иона в тетрагональном центре эквивалентен повороту линейного осциллятора, то интенсивности I^{\parallel} и I^{\perp} в формуле для степени поляризации P можно рассматривать как интенсивности излучения двух систем осцилляторов I^{\parallel} и I^{\perp} с взаимно перпендикулярной ориентацией, между которыми происходит обратимый перенос энергии возбуждения. По указанным выше причинам энергию возбуждения может поглощать только система осцилляторов I^{\parallel} . Такой процесс по существу эквивалентен ранее детально изученному явлению — обратимой безызлучательной передаче энергии между двумя коллетивами частиц, описанному в [7]. Это дает возможность использовать приведенные в той работе кинетические уравнения для населенностей двух взаимодействующих систем в выводе формулы, связывающей величину P с ν_a и ΔE . Приняв во внимание, что в нашем случае под вероятностью взаимодействия подразумевается вероятность W перескока иона F_i^- , получим следующее выражение:

$$P(T) = \frac{1/\tau}{1/\tau + 2\nu_a \exp(-\Delta E/kT)}.$$

Здесь время жизни возбужденного уровня $\tau = 11.6$ мс для Eu^{3+} и 0.6 мс для Pr^{3+} .

Построив зависимости $P = f(T)$ (рис.2) в координатах $\ln(P) = f(1/T)$, легко определить значения ν_a и ΔE : для Eu^{3+} центра $\nu_a = (2.5 + 2) \cdot 10^{12} \text{ с}^{-1}$ и $\Delta E = 0.32 + 0.03 \text{ эВ}$, для Pr^{3+} центра $\nu_a = (3.5 + 2) \cdot 10^{12} \text{ с}^{-1}$, и $\Delta E = 0.4 + 0.03 \text{ эВ}$.

Эффект перескока междуузельного фтора в тетрагональном центре TR^{3+} проявил себя так же при исследовании кинетики и затухания люминесценции TR^{3+} ионов при импульсном селективном возбуждении поляризованным светом. Используя, как и выше, кинетические уравнения, описывающие взаимодействия двух коллективов частиц, можно получить следующие выражения для кривых затухания люминесценции при их регистрации в двух положениях анализатора E^{\parallel} и E^{\perp} (рис. 1, а):

$$I^{\parallel} = C_1 \exp(-t/\tau) + C_2 \exp(-t/\tau - 2Wt),$$

$$I^{\perp} = C_3 [\exp(-t/\tau) - \exp(-t/\tau - 2Wt)],$$

где $W = \nu_a \exp(-\Delta E/kT)$, C_1 , C_2 , C_3 — постоянные.

Анализ этих выражений показывает, что кривая распада $I^{\parallel} = f(t)$, регистрируемая в положении E^{\parallel} , представляет собой сумму двух экспонент с декрементами затухания $1/\tau$ и $1/\tau + 2W$. В свою очередь кривая $I^{\perp} = f(t)$ имеет начальный участок разгорания, который сменяется, как и для кривой $I^{\parallel} = f(t)$, распадом с декрементом, соответствующим времени жизни τ исследуемого уровня TR^{3+} иона. Именно такой характер распада был зарегистрирован нами в эксперименте при исследовании люминесценции ионов Eu^{3+} и Pr^{3+} в интервале температур 100–295 К.

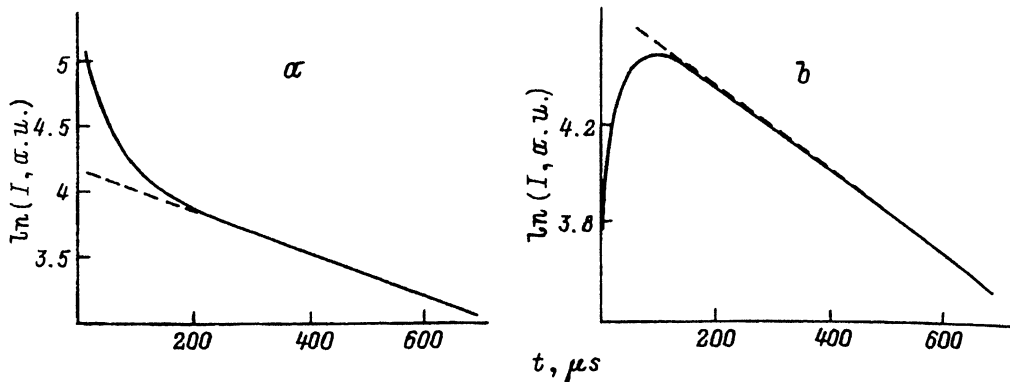


Рис. 3. Кинетики распада возбужденного состояния 5D_1 у Pr^{3+} в тетрагональном центре при 220 К в положении анализатора E^{\parallel} (a) и E^{\perp} (b).

На рис. 3 показаны эти кинетики распада при регистрации люминесценции Pr^{3+} с уровня 5D_1 при 220 К в двух положениях анализатора. Изучая начальные участки этих кривых при нескольких значениях температур T , как и в первом случае можно было определить величины ν_a и ΔE . Для центра с Eu^{3+} $\nu_a = (6+4) \cdot 10^{12} \text{с}^{-1}$ и $\Delta E = 0.37 + 0.05 \text{ эВ}$, а для центра с Pr^{3+} $\nu_a = (8+4) \cdot 10^{12} \text{с}^{-1}$ и $\Delta E = 0.43 + 0.05 \text{ эВ}$. Следует отметить, что оба эксперимента показывают несколько большее значение величины потенциального барьера ΔE для центра с Pr^{3+} . Возможно, это связано с влиянием на процесс перескока ионы F_i^- характера взаимодействия между F_i^- и ионом TR^{3+} . Для TR^{3+} ионов начала ряда лантаноидов (в данном случае PR^{3+}) характерно большее значение энергии связи $F_i^- - \text{TR}^{3+}$ [8].

Таким образом, используя метод поляризованной люминесценции, мы доказали существование эффекта перескока иона F_i^- по междоузлиям вокруг TR^{3+} иона в тетрагональном центре в CaF_2 . При комнатной температуре, по нашим данным, время такого перескока t_1 составляет ~ 10 нс, что намного меньше времени жизни τ метастабильных уровней TR^{3+} ионов, обычно исследуемых в люминесценции. В этой связи при комнатной температуре могут не проявляться эффекты, связанные с локальной анизотропией окружения активаторных центров TR^{3+} ионов в структуре флюорита. Это явление представляет интерес в связи с возможностью использования флюоритовых систем с редкоземельными активаторами, например с Pr^{3+} , в качестве усилителей волоконных линий связи.

Настоящая работа выполнена при поддержке Лаборатории Белл АТТ США.

Список литературы

- [1] Батыгов С.Ч., Осико В.В. // ФТТ. 1971. Т.13. № 8. С. 2247-2251.
- [2] Осико В.В. // ФТТ. 1965. Т. 7. № 5. С. 1294-1302.
- [3] Прохоров А.М., Осико В.В. Проблемы современной кристаллографии. М.: Наука, 1975. С. 280-301.

- [4] Феофилов П.П. Поляризованныя люминесценция атомов, молекул и кристаллов. М.: Гостехиздат, 1959.
- [5] Гайдук М.И., Золин В.Ф., Гайгерова Л.С. Спектры люминесценции европия. М.: Наука, 1974.
- [6] Киттель Ч. Введение в физику твердого тела. М.: Наука, 1978.
- [7] Heber J. // Phys. Status Solidi (a). 1970. V. 42. N 2. P. 497-506.
- [8] Osiko V.V., Voronko Yu.K., Sobol A.A. // Crystals. Springer Verlag, Berlin, 1984. V. 10. P. 37-86.

Институт общей физики РАН
Москва

Поступило в Редакцию
13 октября 1993 г.
